

МОДЕЛЬ ПРОСТРАНСТВЕННО-РАСПРЕДЕЛЕННОГО ТЕПЛООБМЕНА СТЕНКИ И ПОТОКА НА БАЗЕ МОДАЛЬНОГО ПРЕДСТАВЛЕНИЯ¹

И.А. Данилушкин, О.Н. Тимофеева

Самарский государственный технический университет
443100, г. Самара, ул. Молодогвардейская, 244

Предложена динамическая модель теплообмена стенки и потока теплообменного аппарата с учетом пространственной распределенности процесса. Рассмотрен способ решения системы дифференциальных уравнений в частных производных посредством разложения в бесконечный ряд по собственным функциям одного из уравнений. Для ограниченного числа учитываемых мод выполнен численный эксперимент, проведен анализ полученных результатов.

Ключевые слова: процесс теплообмена, нагрев потока, температурное распределение, объект с распределенными параметрами, структурная теория распределенных систем, собственная функция, модальное представление.

Исследование нагрева потока жидкости в технологических установках базируется, в первую очередь, на учете пространственной распределенности процесса теплообмена. В большинстве случаев математические модели, разрабатываемые для выявления качественных особенностей поведения процессов нагрева и синтеза законов управления ими, позволяют ограничиться системой двух одномерных дифференциальных уравнений в частных производных, описывающих взаимосвязанные температурные распределения нагреваемого потока и поверхности, с которой он контактирует. В качестве базовой модели рассматривается процесс нагрева потока жидкости или газа от стенок трубы.

Относительно высокая скорость движения нагреваемого потока позволяет пренебречь передачей тепла за счет теплопроводности по направлению движения среды, а специальные конструктивные решения, повышающие эффективность теплообмена, позволяют считать температуру потока постоянной по сечению, перпендикулярному направлению потока. Температурное распределение в стенке трубы рассматривается как одномерная задача теплопроводности, поскольку протяженность поверхности контакта вдоль потока обычно в несколько десятков/сотен раз превышает толщину стенки. В поперечном сечении температура стенок трубы также принимается постоянной.

Таким образом, система уравнений с соответствующими граничными и начальными условиями имеет следующий вид:

$$\frac{\partial T(x,t)}{\partial t} = a \frac{\partial^2 T(x,t)}{\partial x^2} + \frac{w(x,t)}{c\gamma} - \beta_T (T(x,t) - \theta(x,t)), \quad 0 < x < L, \quad t > 0, \quad (1)$$

¹ Работа выполнена при финансовой поддержке грантов РФФИ №09-08-00297-а, №10-08-00754-а; ФЦП «Научные и научно-педагогические кадры инновационной России на 2009-2013 годы», заявка НК-66П/11, заявка 2010-1.3.1-230-009/8; АБЦП «Развитие научного потенциала высшей школы», проект №2.1.2/13988.

Иван Александрович Данилушкин – к.т.н., докторант.

Ольга Николаевна Тимофеева – аспирант.

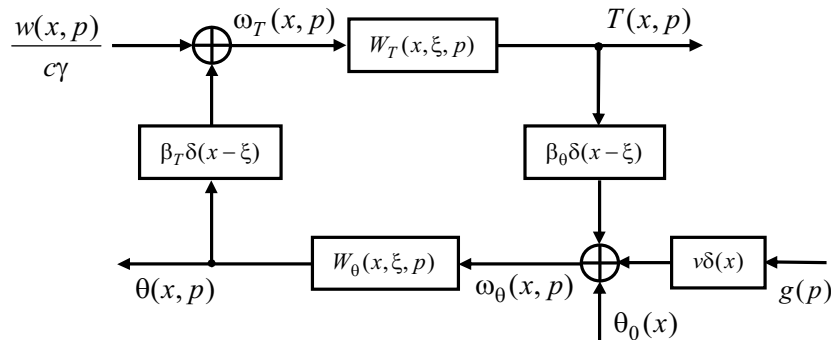
$$\left. \frac{\partial T(x,t)}{\partial x} \right|_{x=0} = 0, \quad \left. \frac{\partial T(x,t)}{\partial x} \right|_{x=L} = 0, \quad T(x,0) = T_0(x), \quad (2)$$

$$\frac{\partial \theta(x,t)}{\partial t} + v \frac{\partial \theta(x,t)}{\partial x} = \beta_\theta (T(x,t) - \theta(x,t)), \quad 0 < x < L, \quad t > 0, \quad (3)$$

$$\theta(0,t) = g(t), \quad \theta(x,0) = \theta_0(x). \quad (4)$$

Здесь $T(x,t)$ – температура стенки трубы; $a = \lambda/c\gamma$ – коэффициент температуропроводности стенки, λ , c , γ – физические характеристики материала стенки: коэффициент теплопроводности, теплоемкость и плотность соответственно; $w(x,t)$ – распределение мощности теплоисточников, нагревающих стенку трубы; $\theta(x,t)$ – температура потока; v – скорость потока; L – длина трубы; $T_0(x)$, $\theta_0(x)$ – начальные распределения температуры стенки и потока соответственно; $g(t)$ – температура потока на входе в теплообменник; β_T , β_θ – коэффициенты теплопередачи от потока к стенке и от стенки к потоку соответственно. Они оба одинаково зависят от коэффициента конвективного теплообмена между стенкой и потоком, но различаются благодаря разным объемам сред, участвующих в теплообмене, разным значениям их плотности и теплоемкости.

Методами структурной теории распределенных систем [1-4] для системы (1)–(4) может быть получено структурное представление вида рис. 1.



Р и с . 1. Структурная схема объекта управления

Здесь $W_T(x,\xi,p)$ – распределенная передаточная функция температурного поля стенки

$$W_T(x,\xi,p) = \frac{1}{L} \left[\frac{1}{p + \beta_T} + 2 \sum_{n=1}^{\infty} \frac{\cos(n\pi x/L) \cdot \cos(n\pi \xi/L)}{p + \beta_T + a(n\pi/L)^2} \right], \quad (5)$$

$W_\theta(x,\xi,p)$ – распределенная передаточная функция температурного поля потока

$$W_\theta(x,\xi,p) = \mathbf{1}(x - \xi) \frac{1}{v} \exp\left(-\frac{p + \beta_\theta}{v}(x - \xi)\right). \quad (6)$$

Взаимное влияние температурных полей учитывается за счет стандартизирующих функций для стенки и потока соответственно [4]:

$$\omega_T(x, p) = \frac{w(x, p)}{c\gamma} + \beta_T \theta(x, p), \quad (7)$$

$$\omega_0(x, p) = \beta_0 T(x, p) + v\delta(x)g(p) + \theta_0(x). \quad (8)$$

Задача управления температурным полем потока в ряде случаев формулируется либо в виде ограничений на максимальную температуру стенки нагревателя (например, при подогреве потока нефти [5]), либо в виде требования к поддержанию постоянной температуры стенки по всей длине нагревателя (пример – температура катализатора в проточном реакторе при протекании в нем эндотермических / экзотермических реакций [6]). В обоих случаях необходимо получить передаточную функцию по каналу «распределение теплоисточников» – «распределение температурного поля стенки», учитывающую наличие обратной связи за счет пространственно-распределенного сигнала. Передаточная функция замкнутой системы с распределенными параметрами в общем случае может быть найдена путем решения интегрального уравнения Фредгольма второго рода [1]. Для структурной схемы (см. рис. 1) зависимость $T(x, p)$ от входного распределенного сигнала $w(x, p)$ записывается следующим образом:

$$T(x, p) = W_T(x, \xi, p) \otimes \left(\frac{1}{c\gamma} w(x, p) + \beta_T W_\theta(x, \xi, p) \otimes \beta_0 T(x, p) \right), \quad (9)$$

где символ \otimes означает интегрирование двух связанных этим символом функций по области, в которой меняются две внутренние (ближайшие в записи формулы к знаку \otimes) пространственные переменные [1]. Подставив в выражение (9) $w(x, p) = \delta(x - \xi)$, по определению получаем, что $T(x, p) = W_{wT}(x, \xi, p)$ – распределенная передаточная функция замкнутой системы. Тогда уравнение Фредгольма для $W_{wT}(x, \xi, p)$ примет вид

$$W_{wT}(x, \xi, p) = \beta_T \beta_0 W_T(x, \xi, p) \otimes W_\theta(x, \xi, p) \otimes W_{wT}(x, \xi, p) + \frac{1}{c\gamma} W_T(x, \xi, p), \quad (10)$$

ядром которого выступает интеграл произведения функций

$$W_T(x, \xi, p) \otimes W_\theta(x, \xi, p) = \int_0^x \frac{1}{L} \left[\frac{1}{p + \beta_T} + 2 \sum_{n=1}^{\infty} \frac{\cos(n\pi x/L) \cdot \cos(n\pi \eta/L)}{p + \beta_T + a(n\pi/L)^2} \right] \cdot \frac{1}{v} \exp\left(-\frac{p + \beta_\theta}{v}(\eta - \xi)\right) d\eta. \quad (11)$$

Решение интегрального уравнения (10) с ядром (11) не может быть найдено аналитически. Для нахождения передаточной функции по каналу «распределение теплоисточников» – «распределение температурного поля стенки» предлагается воспользоваться представлением распределенного сигнала в виде разложения в ряд по ортонормированному базису. В качестве такого базиса выбрана совокупность собственных функций однородного уравнения вида (1) с граничными условиями (2):

$$\varphi_0(x) = \sqrt{\frac{1}{L}}, \quad \varphi_n(x) = \sqrt{\frac{2}{L}} \cos(n\pi x/L), \quad n \in \{1, 2, \dots\}. \quad (12)$$

Тогда передаточная функция $W_T(x, \xi, p)$ (5) может быть представлена в виде бесконечной суммы

$$W_T(x, \xi, p) = \sum_{n=0}^{\infty} \varphi_n(x) \cdot \varphi_n(\xi) \cdot z_n(p), \quad (13)$$

где

$$z_n(p) = \frac{1}{p + \beta_T + a(n\pi/L)^2}, \quad n \in \{0, 1, 2, \dots\}. \quad (14)$$

Любой распределенный сигнал системы может быть представлен в виде бесконечной суммы пар произведений собственных функций (12) и соответствующих временных мод. Для $T(x, p)$ можно записать

$$T(x, p) = \sum_{n=0}^{\infty} \varphi_n(x) \cdot T_n(p). \quad (15)$$

С учетом (15) выражение для распределения температуры потока $\theta(x, p)$ как сигнала на выходе передаточной функции $W_\theta(x, \xi, p)$ записывается следующим образом:

$$\theta(x, p) = \int_0^L W_\theta(x, \xi, p) \cdot \beta_\theta T(\xi, p) d\xi = \beta_\theta \sum_{n=0}^{\infty} T_n(p) \cdot \int_0^L W_\theta(x, \xi, p) \cdot \varphi_n(\xi) d\xi. \quad (16)$$

Благодаря свойствам ортонормированного базиса значение k -той временной моды разложения сигнала $\theta(x, p)$ в ряд по базису (12) может быть найдено с помощью интеграла

$$\theta_k(p) = \int_0^L \theta(x, p) \cdot \varphi_k(x) dx, \quad k \in \{0, 1, 2, \dots\}. \quad (17)$$

Подставив (16) в (17), получим

$$\theta_k(p) = \beta_\theta \sum_{n=0}^{\infty} T_n(p) \cdot \int_0^L \int_0^L W_\theta(x, \xi, p) \cdot \varphi_n(\xi) d\xi \cdot \varphi_k(x) dx, \quad k \in \{0, 1, 2, \dots\}. \quad (18)$$

Представив распределение мощности теплоисточников в виде разложения в ряд по базису (12) с помощью временных мод

$$w_k(p) = \int_0^L w(x, p) \cdot \varphi_k(x) dx, \quad k \in \{0, 1, 2, \dots\}, \quad (19)$$

можно записать уравнение для k -той временной моды температурного поля стенки:

$$T_k(p) = z_k(p) \cdot \left(\frac{1}{c\gamma} w_k(p) + \beta_T \theta_k(p) \right), \quad k \in \{0, 1, 2, \dots\}. \quad (20)$$

Подставив в (20) выражение для k -той временной моды температурного поля потока (18), получим бесконечную систему уравнений для временных мод температурного поля стенки:

$$T_k(p) = z_k(p) \cdot \left(\frac{1}{c\gamma} w_k(p) + \beta_T \beta_\theta \sum_{n=0}^{\infty} T_n(p) \cdot \int_0^L \int_0^L W_\theta(x, \xi, p) \cdot \varphi_n(\xi) d\xi \cdot \varphi_k(x) dx \right), \quad k \in \{0, 1, 2, \dots\}. \quad (21)$$

Если ограничиться конечным числом N учитываемых мод в системе уравнений (21), то можно реализовать решение системы в одном из компьютерных пакетах численного моделирования динамических систем, например Matlab/Simulink [7]. Для этого необходимо вычислить двойной интеграл. Обозначив его

$$W_{kn}(p) = \int_0^L \int_0^L W_\theta(x, \xi, p) \cdot \varphi_n(\xi) d\xi \cdot \varphi_k(x) dx, \quad (22)$$

можно записать

$$T_k(p) = z_k(p) \cdot \left(\frac{1}{c\gamma} w_k(p) + \beta_T \beta_\theta \sum_{n=0}^{N-1} T_n(p) \cdot W_{kn}(p) \right), \quad k \in \{0, 1, 2, \dots, N-1\}. \quad (23)$$

Рассмотрим сначала

$$\int_0^L W_\theta(x, \xi, p) \cdot \varphi_n(\xi) d\xi = \int_0^x \frac{1}{v} \exp\left(-\frac{p+\beta_\theta}{v}(x-\xi)\right) \cdot \varphi_n(\xi) d\xi, \quad n \in \{0, 1, 2, \dots\}. \quad (24)$$

При $n = 0$

$$\int_0^x \frac{1}{v} \exp\left(-\frac{p+\beta_\theta}{v}(x-\xi)\right) \cdot \sqrt{\frac{1}{L}} d\xi = \sqrt{\frac{1}{L}} \frac{1}{p+\beta_\theta} \left(1 - \exp\left(-\frac{p+\beta_\theta}{v}x\right)\right). \quad (25)$$

При $n \in \{1, 2, \dots\}$

$$\begin{aligned} \int_0^x \frac{1}{v} \exp\left(-\frac{p+\beta_\theta}{v}(x-\xi)\right) \cdot \sqrt{\frac{2}{L}} \cos(n\pi\xi/L) d\xi &= \sqrt{\frac{2}{L}} \frac{1}{(p+\beta_\theta)^2 + (n\pi/L)^2} \times \\ &\times \left[(p+\beta_\theta) \cos(n\pi x/L) + \frac{n\pi x}{L} \sin(n\pi x/L) - (p+\beta_\theta) \exp\left(-\frac{p+\beta_\theta}{v}x\right) \right]. \end{aligned} \quad (26)$$

С учетом полученных выражений (25) и (26) может быть найдено значение интеграла $W_{kn}(p)$. Ввиду громоздкости вычислений целесообразно рассмотреть отдельно несколько случаев.

1) $k = 0, n = 0$:

$$W_{00}(p) = \frac{1}{L} \frac{1}{p+\beta} \left[L - \frac{v}{p+\beta_\theta} \left[1 - \exp\left(-\frac{p+\beta_\theta}{v}L\right) \right] \right]. \quad (27)$$

2) $k = 0, n \in \{1, 2, \dots\}$:

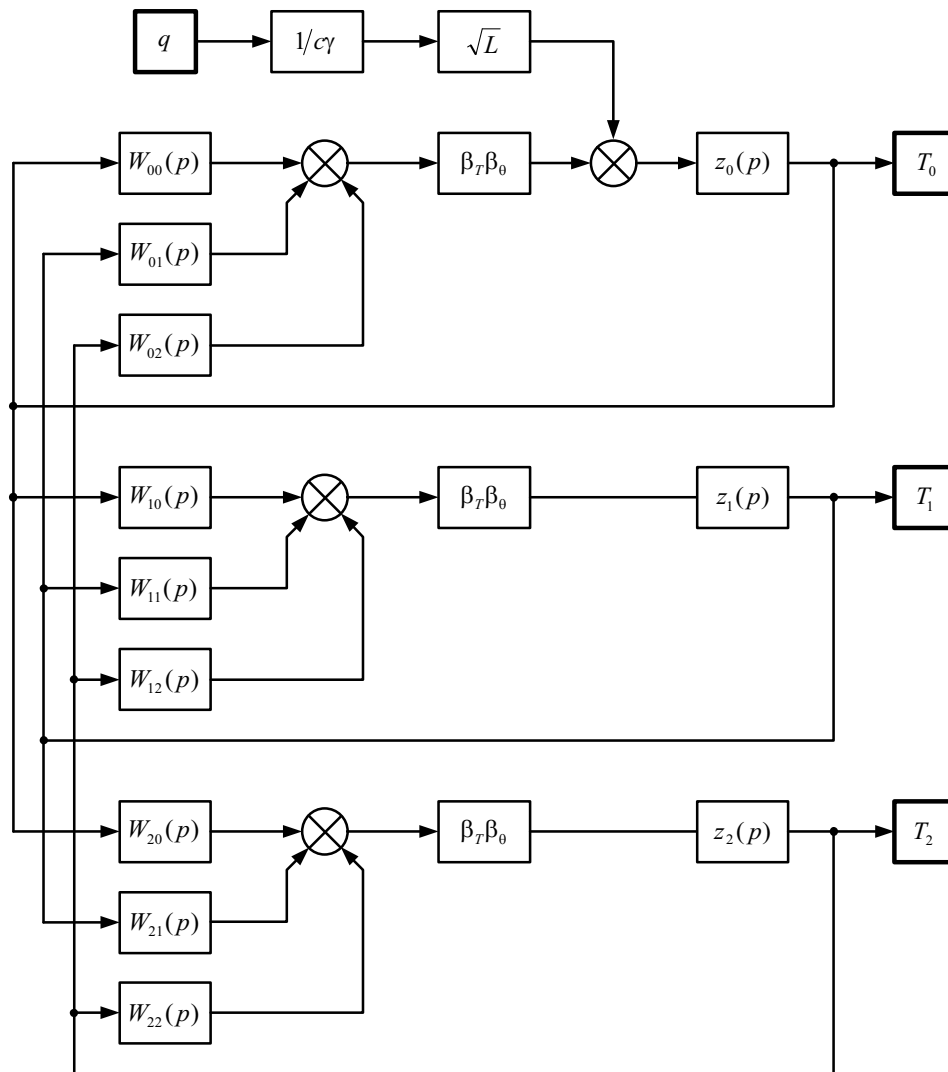
$$W_{0n}(p) = \frac{\sqrt{2}}{L} v \frac{1}{(p+\beta_\theta)^2 + (n\pi v/L)^2} \left[(-1)^{n+1} + \exp\left(-\frac{p+\beta_\theta}{v}L\right) \right]. \quad (28)$$

3) $k \in \{1, 2, \dots\}, n = 0$:

$$W_{k0}(p) = \frac{\sqrt{2}}{L} v \frac{1}{(p+\beta_\theta)^2 + (k\pi v/L)^2} \left[-1 + (-1)^k \exp\left(-\frac{p+\beta_\theta}{v}L\right) \right]. \quad (29)$$

4) $k, n \in \{1, 2, \dots\}, k = n$:

$$W_{kk}(p) = \frac{2}{L} \frac{1}{(p + \beta_0)^2 + (k\pi v/L)^2} \times \left[\frac{L}{2}(p + \beta_0) - \frac{v \cdot (p + \beta_0)^2}{(p + \beta_0)^2 + (k\pi v/L)^2} \left[1 + (-1)^n \exp\left(-\frac{p + \beta_0}{v} L\right) \right] \right]. \quad (30)$$



Р и с . 2. Структурная схема модели, учитывающей три первые моды, $N = 3$

5) $k, n \in \{1, 2, \dots\}$, $k \neq n$:

$$W_{kn}(p) = \frac{2}{L} \frac{v}{(p + \beta_\theta)^2 + (n\pi v/L)^2} \times \left[\frac{n^2(1 + (-1)^{k+n})}{n^2 - k^2} - \frac{(p + \beta_\theta)^2}{(p + \beta_\theta)^2 + (k\pi v/L)^2} \left[1 - (-1)^k \exp\left(-\frac{p + \beta_\theta}{v} L\right) \right] \right]. \quad (31)$$

С помощью полученных выражений (27)-(31) были разработаны структурные схемы динамической модели для численного решения системы уравнений (23) при $N = 2$, $N = 3$, $N = 4$ в специализированных компьютерных пакетах. На рис. 2 представлена схема модели для случая $N = 3$,

$$w(x, p) = q \equiv const. \quad (32)$$

Подставив (32) в (19), получим

$$w_0 = \sqrt{L} \cdot q; \quad w_k = 0, \quad k \in \{1, 2, \dots\}. \quad (33)$$

На рис. 3 представлено температурное распределение по длине теплообменного аппарата, рассчитанное для некоторых фиксированных моментов времени при различном количестве учитываемых мод.

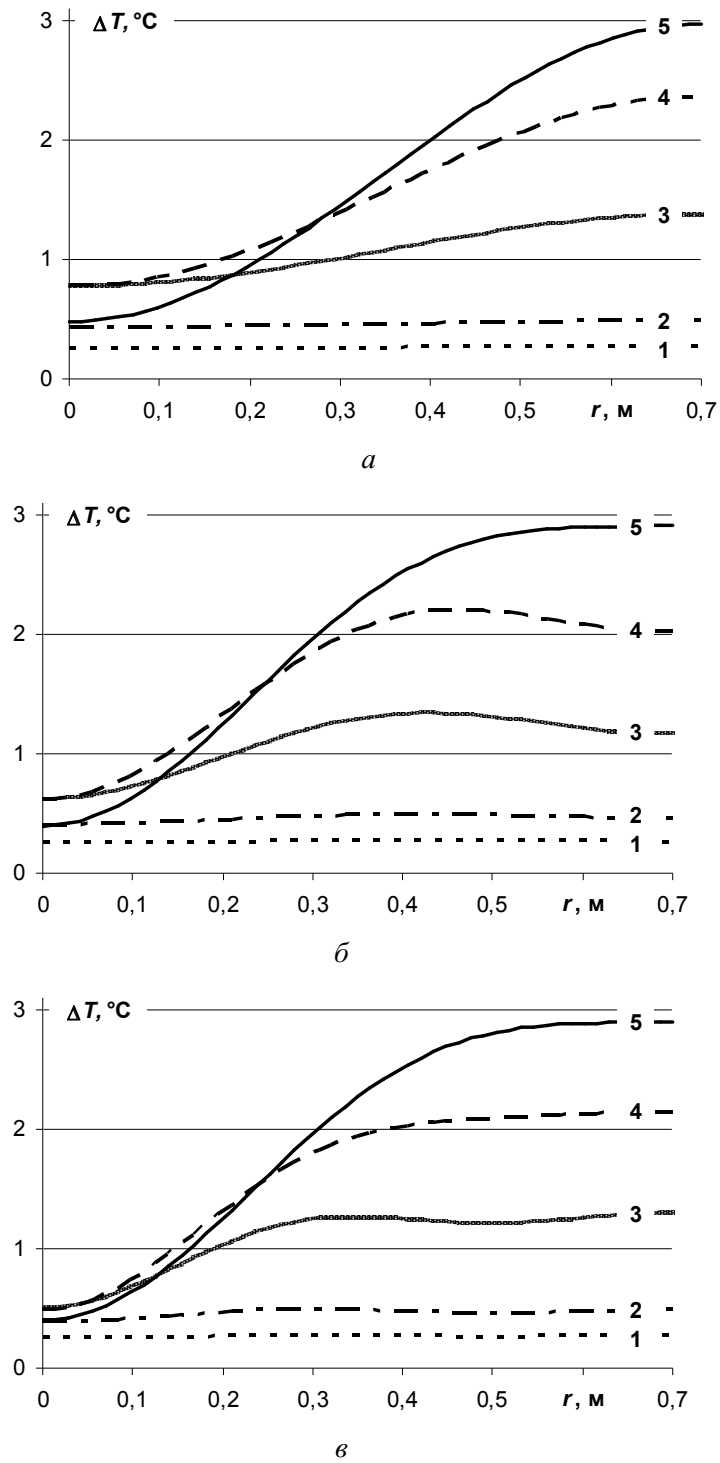
На рис. 4 представлены графики переходных процессов в трех точках по длине теплообменного аппарата также при различном количестве учитываемых мод.

Численные эксперименты проводились при следующих значениях параметров: $\beta_T \beta_\theta = 0,3 \text{ 1/c}^2$, $L = 0,7 \text{ м}$, $v = 0,02 \text{ м/с}$, $c = 811 \text{ Дж/(кг·град)}$, $\gamma = 2700 \text{ кг/м}^3$, $\lambda = 7 \text{ Вт/(м·град)}$, $q = 180 \text{ кВт/м}^3$. Такие параметры соответствуют режиму нагрева бензиновых фракций в лабораторной установке каталитического риформинга [8]. Начальная температура катализатора и потока принята равной нулю градусов.

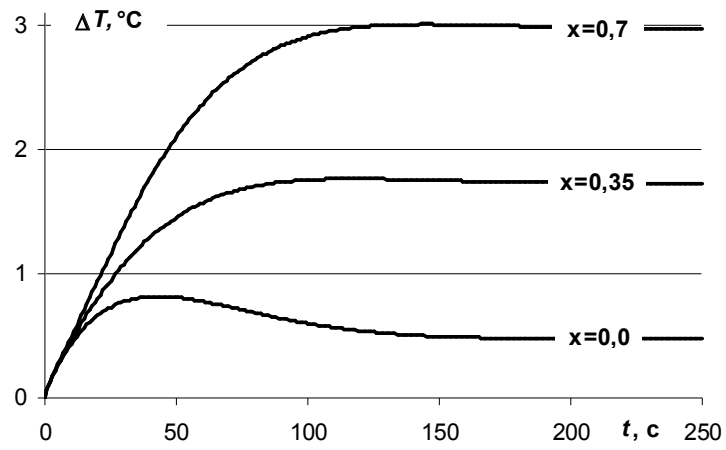
Анализ графиков (см. рис. 3, 4) показал, что увеличение количества учитываемых мод ведет к снижению статической и динамической ошибок моделей. Максимальная погрешность модели наблюдается в начале теплообменника, при $x = 0 \text{ м}$. Так, «перегрев» начала в переходном режиме при $t = 41 \text{ с}$ (см. рис. 4, а) для двух мод составляет около 70% относительно установившегося значения, а для четырех мод, при $t = 34 \text{ с}$ (рис. 4, в) – уже около 26%. При этом исходя из физики исследуемого процесса понятно, что «перегрева» быть не должно.

Графики, представленные на рис. 3, также показательны – «перегрев» центральной области теплообменника при $x = 0,4 \text{ м}$ по сравнению с концом ($x = 0,7 \text{ м}$) в переходном режиме (линии 3, 4 на рис. 3, б, в) уменьшается с увеличением количества учитываемых в модели мод.

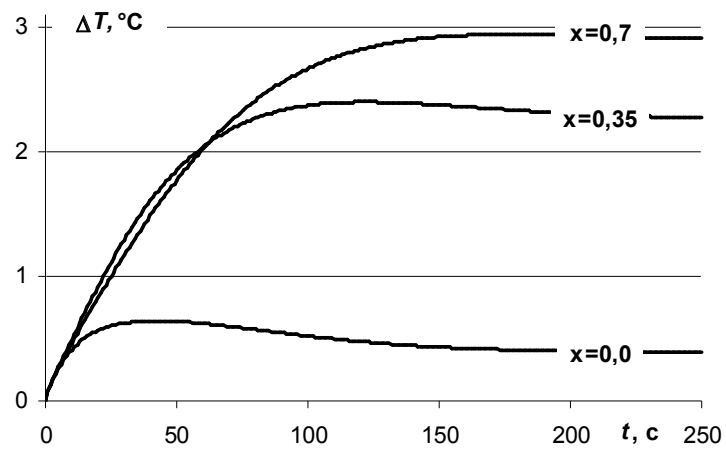
Предлагаемый подход к моделированию может использоваться при исследовании объектов и систем с распределенными параметрами в компьютерных пакетах численного моделирования динамических систем, при синтезе и анализе систем автоматического управления объектами с распределенными параметрами.



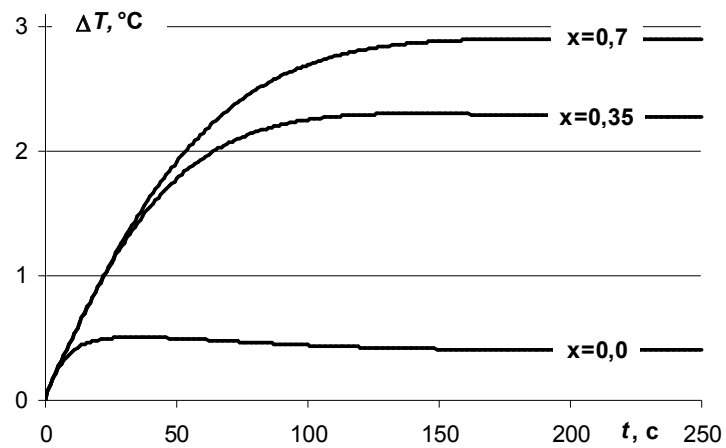
Р и с . 3. Температура стенки в разные моменты времени:
a – при моделировании учтены две моды, $N = 2$;
б – при моделировании учтены три моды, $N = 3$;
в – при моделировании учтены четыре моды, $N = 4$:
 1 – $t = 5 \text{ c}$; 2 – $t = 10 \text{ c}$; 3 – $t = 30 \text{ c}$; 4 – $t = 60 \text{ c}$; 5 – $t = 250 \text{ c}$



a



b



v

Р и с . 4. Температура стенки в разных точках по длине:
a – при моделировании учтены две моды;
b – при моделировании учтены три моды;
v – при моделировании учтены четыре моды

БИБЛИОГРАФИЧЕСКИЙ СПИСОК

1. Бутковский А.Г. Структурная теория распределенных систем. – М.: Наука, 1977. – 320 с.
2. Бутковский А.Г. Характеристики систем с распределенными параметрами. – М.: Наука, 1979. – 224 с.
3. Рапопорт Э.Я. Структурное моделирование объектов и систем управления с распределенными параметрами. – М.: Высшая школа, 2003. – 299 с.
4. Рапопорт Э.Я. Анализ и синтез систем автоматического управления с распределенными параметрами: Учеб. пособие. – М.: Высш. школа, 2005. – 292 с.
5. Данилушкин В.А., Калаишиков С.А., Шумаков М.А. Применение индукционных нагревателей в трубопроводном транспорте высоковязких нефтей // Вестник Самар. гос. техн. ун-та. Сер. Технические науки. – Вып. 14. – 2002. – С. 178-181.
6. Кондрашева Н.К., Кондрашев Д.О., Абдульминев К.Г. Технологические расчеты и теория каталитического риформинга бензина: Учеб. пособие. – Уфа: Монография, 2008. – 160 с.
7. Дьяконов В.П. Simulink 5/6/7: Самоучитель. – М.: ДМК-Пресс, 2008. – 784 с.
8. Тимофеева О.Н., Данилушкин И.А. Численно-аналитическое решение задачи теплообмена между катализатором и потоком // Математическое моделирование и краевые задачи: Труды VII Всероссийской научной конференции с международным участием. Ч.2: Моделирование и оптимизация динамических систем и систем с распределенными параметрами. – Самара: СамГТУ, 2010. – С. 254-257.

Статья поступила в редакцию 20 апреля 2011 г.

UDC 517.958

A MODEL OF SPATIALLY DISTRIBUTED HEAT TRANSFER BETWEEN PIPE AND FLOW BASED ON MODAL REPRESENTATION

I.A. Danilushkin, O.N. Timofeeva

Samara State Technical University
244, Molodogvardeyskaya st., Samara, 443100

A dynamic model of heat transfer between pipe and flow of a heat exchanger taking into account a spatial distribution of the process is proposed. A method for solving differential equations in partial derivatives through expansion into an infinite series of eigenfunctions of the one of equations is considered. For a fixed number of modes a numerical experiment is carried out. The results are analyzed.

Keywords: *heat transfer, heat flow, temperature distribution, an object with distributed parameters, the structural theory of distributed systems, eigenfunctions, the modal representation.*

*I.A. Danilushkin – Candidate of Technical Sciences, Associate professor.
O.N. Timofeeva – Postgraduate student.*